ЭЛЕКТРОТЕХНИКА

А. Б. Бабаханян

К вопросу об автоматической разгрузке электровнергетических систем

(Представлено А. Г. Иосифьяном 3 III 1949)

Существующие и рекомендованные релейные схемы автоматической аварийной разгрузки электроэнергетических систем по частоте ($^{1-1}$) в принципе действуют при определенных пониженных уровнях частоты системы, т. е. при $f_y = f_{\text{ном}} - \Delta f_c$, где

fy. — уставка реле частоты данной ступени разгрузки;

f_{ном} — номинальная частота

 Δf_c — отклонение частоты данной ступени разгрузки.

Работа разгрузки системы по частоте по вышеуказанному принципу имеет ряд недостатков. Основным из них является невозможность поддержания частоты системы в узких пределах ее изменения, в особенности при значительных мощностях возмущения.

Нами предлагается схема автоматической разгрузки системы, основанная на принципе действия по скорости изменения частоты

$$-\frac{\mathrm{d}f}{\mathrm{d}t}$$
 (или точнее $\frac{\Delta f}{\Delta t}$). Разгрузка действует при изменении частоты

между определенными наперед заданными пониженными ее значениями, т. е. между уставками двух частотных реле.

Возможность применения схем автоматической разгрузки системы по скорости изменения частоты основывается на поведении частоты системы. Рассмотрим поведение частоты системы при синхронном се изменении на примере работы одного агрегата на электрическую сеть.

Примем условие постоянства мощности возмущения и отсутствие регулирования вообще как со стороны генерирования, так и потребления.

Тогда значение частоты системы агрегат-сеть можно определить из уравнения:

$$f_{A} = f_{HOM} \sqrt{1 + \frac{\Delta P_B}{\partial_{js}}} t, \qquad (1)$$

fном — номинальная частота системы;

△Р. — мощность возмущения;

Эј - кинетическая внергия вращения агрегата:

t - время;

знак перед $\Delta P_{\text{в}}$ положителен, когда $P_{\text{ген}} > P_{\text{пот}}$ и отрицателен в противном случае,

где Рген — мощность генерирования;

Рпот - мощность потребления.

Если в момент возмущения системы

$$f_{\pi} = f_{t_0} \neq f_{HOM}, \qquad (2)$$

то уравнение (1) будет иметь вид:

$$f_{II} = f_{HOM} \sqrt{K_{f_{t_0}}^2 + \frac{\Delta P_B}{\vartheta_{js}} t}, \qquad (3)$$

$$K_{f_{t_0}} = \frac{f_o}{f_{HOM}};$$

где

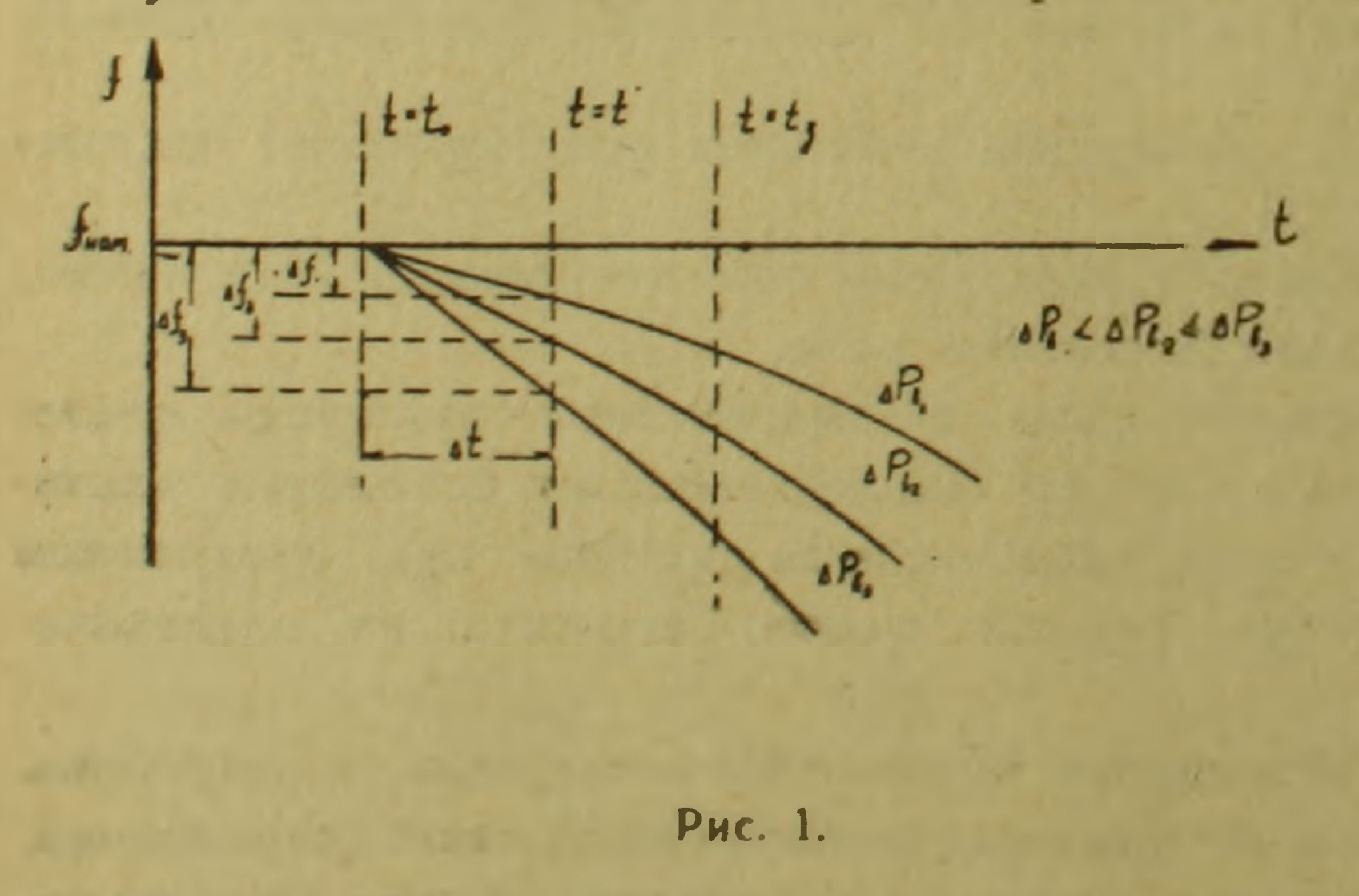
ft, — частота, соответствующая начальному моменту возмущения.

Уравнение (3) справедливо для случая $\Delta P_B = \text{const}$ и при наличии резерва мощности до момента начала действия регулирования, т. е. за время запаздывания действия регулирования t.

Практически t₃ может измеряться секундами.

Поэтому предлагаемая схема автоматической разгрузки по скорости спада частоты должна притти в действие в самом начале изменения частоты за время $t < t_3$.

Как видно из уравнения (1), при постоянном значении Θ_{js} частота будет изменяться в зависимости от ΔP_{B} и t.



На рис. 1. показано изменение частоты для различных значений мощности возмущения при $\Delta P_B = \text{const}$ $\frac{\partial \Delta P_B}{\partial t} = 0 \; ; \; \frac{\partial \Delta P_B}{\partial f} = 0$

и Р_{ген} < Р_{пот}. (4)
Из рис. 1 видво, что

 $\frac{\Delta f_1}{\Delta t} < \frac{\Delta f_2}{\Delta t} < \frac{\Delta f_3}{\Delta t}. \quad (5)$

В реальных условиях работы генерирующего агрегата на электрическую сеть с изменением частоты изменяется и значение ΔP_{B} .

При условиях $\frac{\partial \Delta P_B}{\partial t} = 0$ и $\frac{\partial \Delta P_B}{\partial t} \neq 0$ характер изменения частоты будет иным, чем покавано на рис. 1.

116

Для случая спада частоты при $\Delta P_B \to 0$ и указанных выше условиях представлены кривые на рис. 2.

Как видим из рис. 2 при свойствах самовыравнивания (*) здесь также справедливо условие (5).

Анализ поведения частоты электроэнергетических систем может

быть произведен таким же образом если принять в уравнениях (1) м (3) за Э_{js} — кинетическую энергию вращения всех агрегатов системы.

Как не трудно видеть, и в электроэнергетической системе ты за картина динамики изменения часто период возмущения будет представляться рис. 2.

Следовательно, зная Э_{js} системы, можно иметь расчетные кривые спада частоты для различных мощностей возмущения и в соответ-

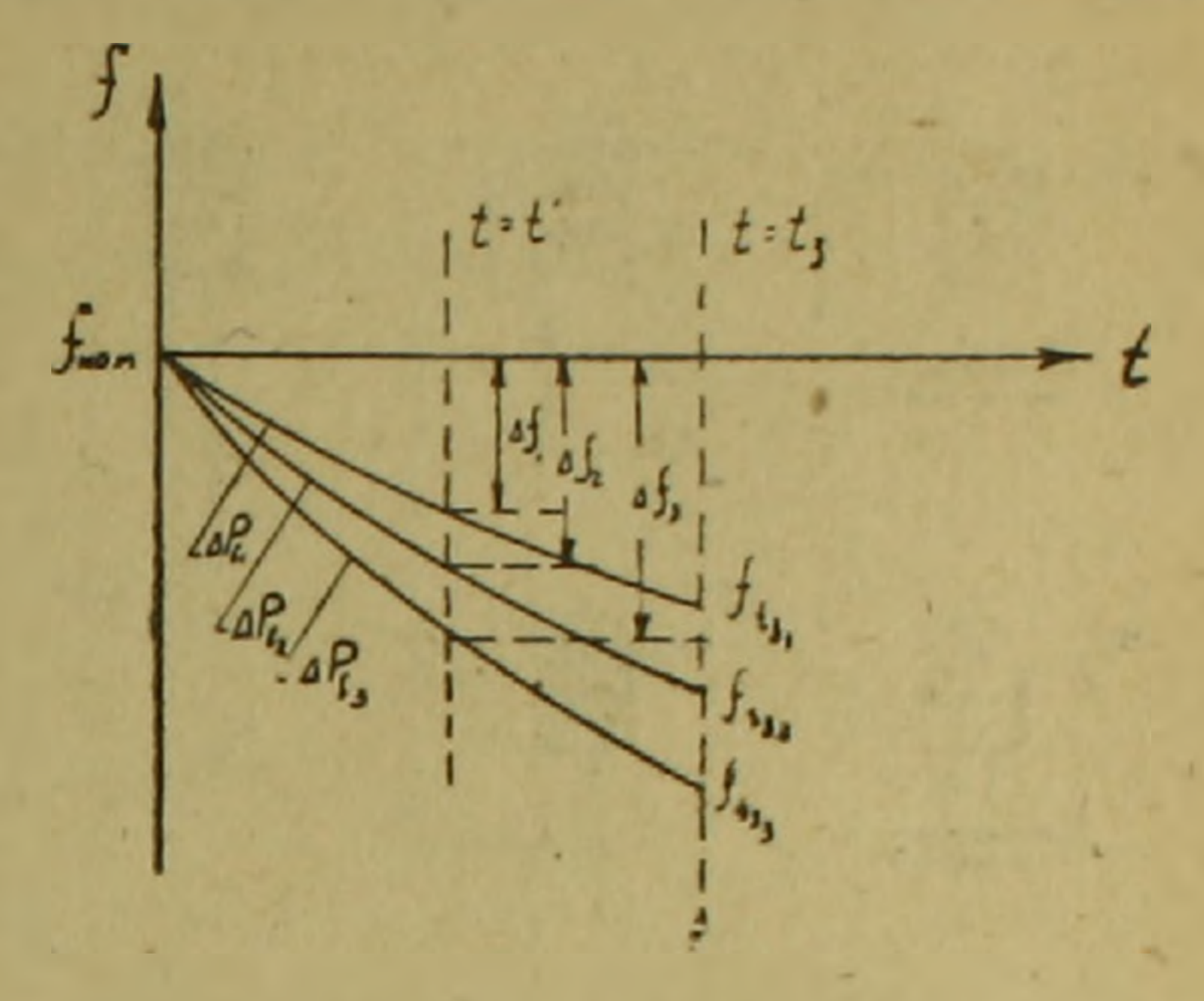


Рис. 2.

ствии со скоростью изменения частоты возможна разгрузка системы отключением определенной мощности потребителей в начале изменения частоты.

Мощность разгрузки определится так:

 $P_{pas.} = \Delta P_{B} - P_{pes.}$

где Ррез. — мощность резерва системы.

Релейные схемы автоматической разгрузки системы по скорости изменения частоты. Известно, что до сего времени нет достаточно удовлетворительных конструкций электрических приборов, которые надежно реагировали бы на скорость изменения частоты $\frac{\mathrm{d}f}{\mathrm{d}t}$ и, тем более, имели бы возможность регулирования уставки действия.

Описанные в литературе приборы (8) представляют только лишь попытку конструирования подобных автоматов, и до сего времени серьезного применения они не нашли.

Имеется возможность создания релейных схем, реагирующих на скорость изменения частоты системы.

В принципе предложенные релейные схемы, реагирующие на $\frac{\mathrm{d}f}{\mathrm{d}t}$, основываются на том, что частота изменяется во времени и при том различно для различных возмущений, поэтому, имея в схеме два или несколько реле частоты на различные ступени уставки действия, можно замерить время срабатывания указанных реле для каждой ступени и тем самым автоматически определить $\frac{\mathrm{d}f}{\mathrm{d}t}$ путем сопоставления изменения частоты во времени от одной уставки реле до другой за определаенное зафиксированное время.

На рис. З представлена схема автоматической разгрузки системы по частоте (АРЧ) для одной очереди.

В начале изменения частоты, на уровне і, реле частоты включает свои контакты и подает импульс на включение реле времени. Последний через время t' приводит в действие реле РП, который размыкает

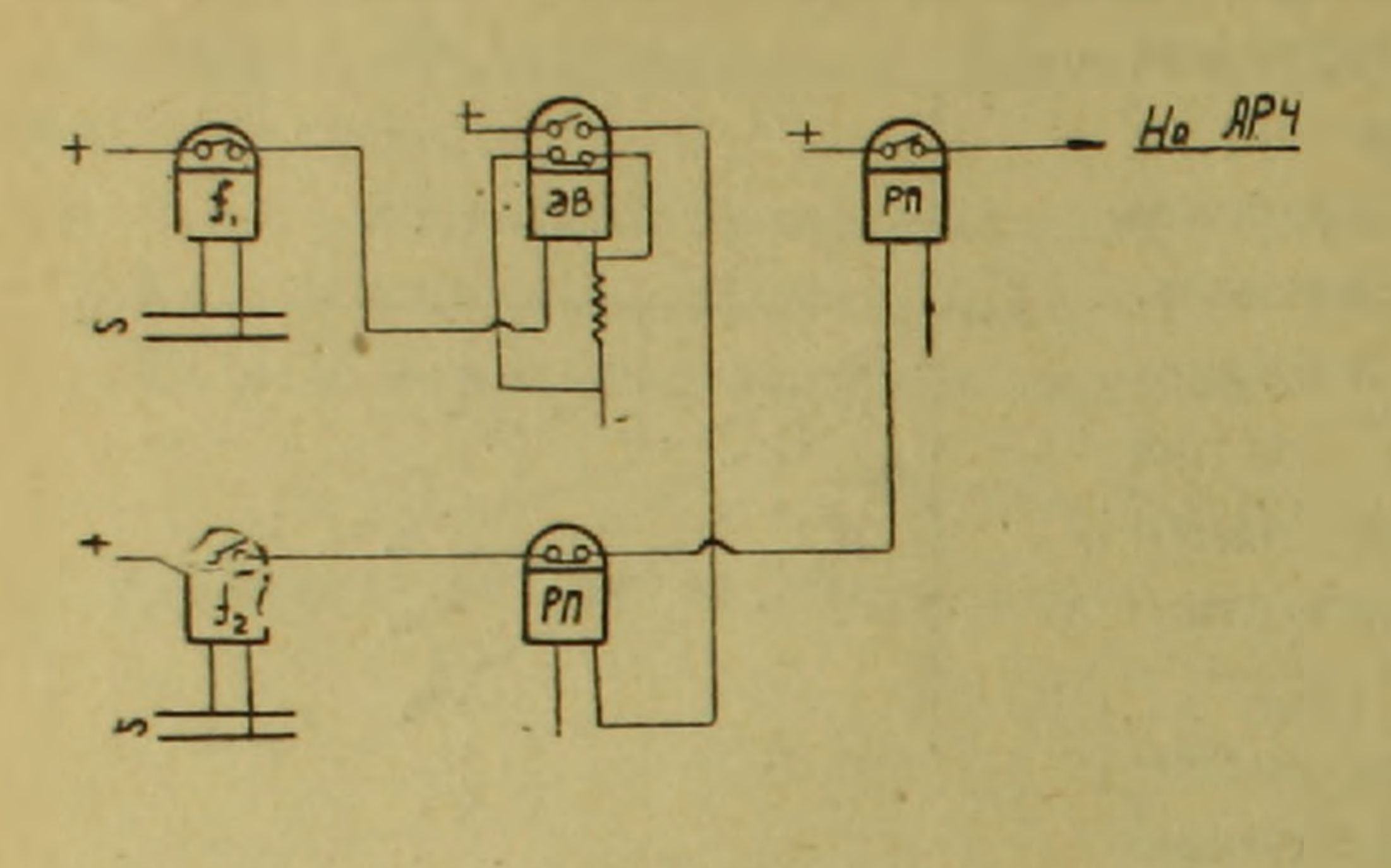


Рис. 3.

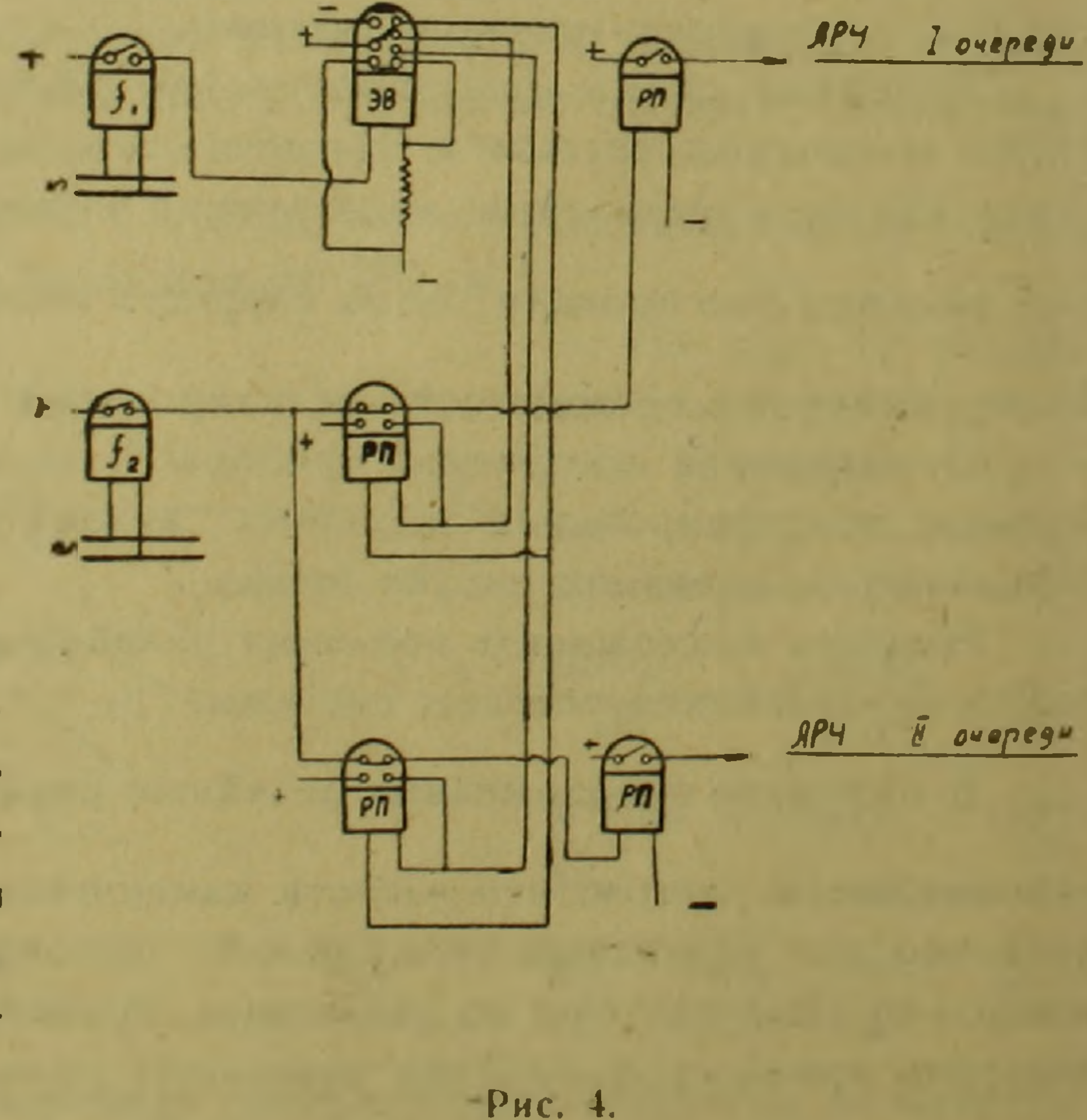
замкнутые контакты и вместе с ними и цепь от второго реле частоты к выходному РП.

Если скорость изменения частоты такова, что за время меньшее, чем t, срабатывает и реле частоты с уставкой f₂, то AP4 действует на отключение. В противном случае AP4 не действует, так как скорость изменения частоты

меньше $\frac{f_1}{f_2}$, и за время изменения частоты от f_1 до $(f_{\text{ном}} - \Delta f_{\text{доп}})$ система может восстановить нормальную частоту за счет регулирования и ввода вращающейся мощности в работу.

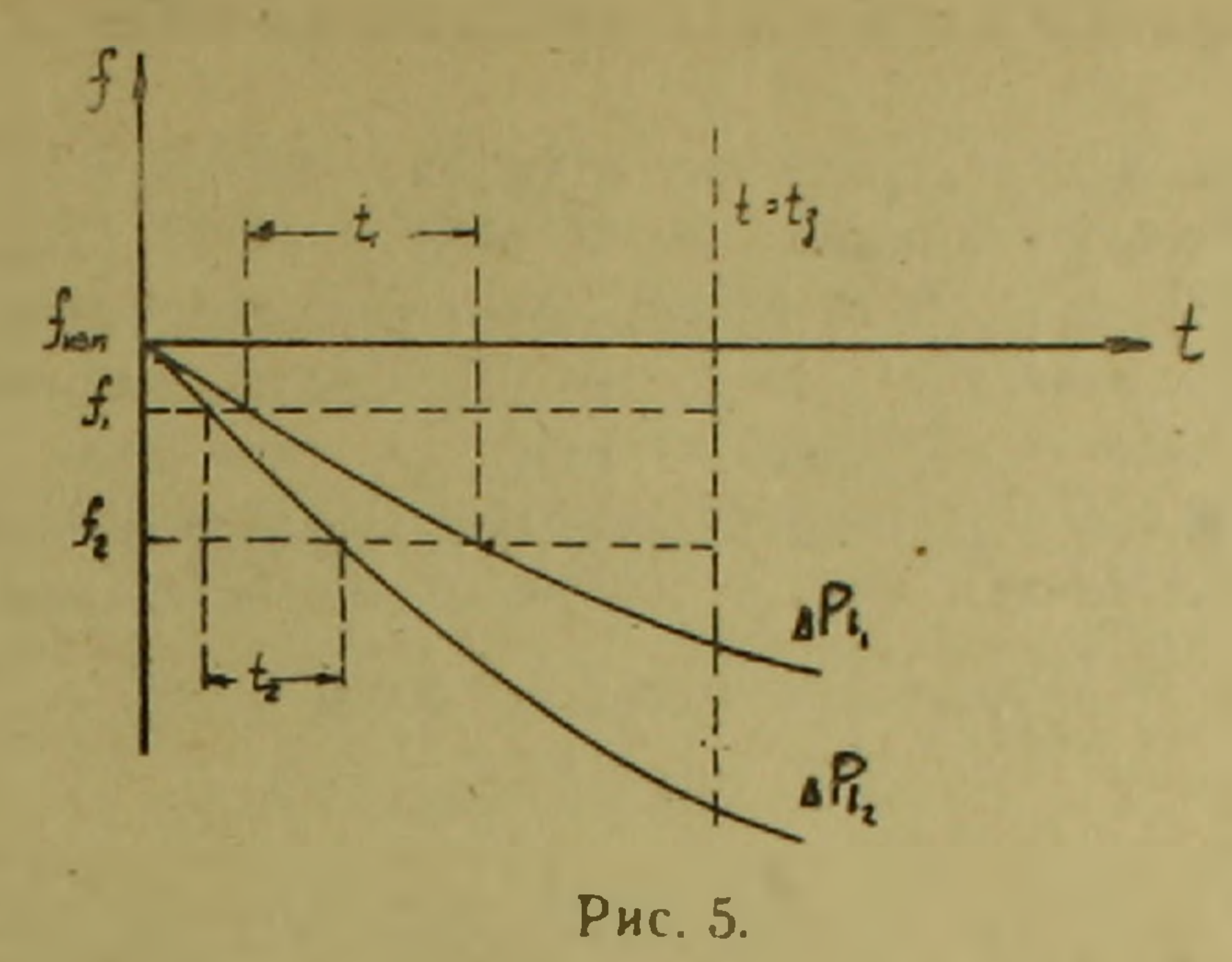
В случае необходимости наличия двух очередей АРЧ можно рекомендовать схему, представленную на рис. 4.

Здесь реле времени, получив импульс от реле частоты f_1 , подает соот- ветственно импульс скользящим контактом через время t_2 и t_1 , на промежуточное реле первой и второй очереди. Последние реле имеют самопитание и их деблокирование осуществляется при восстановленной частоте отключением цепи минуса дополнительным контактом реле времени.



На рис. 5 представлена картина поведения частоты для двух значений мощности возмущения ΔP_{B_i} и ΔP_{B_i} , требующих двух очередей АРЧ.

Из рисунка 5 видно, что $\frac{t_1-t_2}{t_1} < \frac{t_1-t_2}{t_2}$. Поэтому разгрузка по второй очереди произойдет быстрее, чем по первой очереди, и уставка времени ее $t_2 < t_1$.



Заключение. 1. Применение автоматической разгрузки системы по скорости изменения частоты значительно улучшает качество регулирования частоты и обеспечивает надежную и устойчивую работу системы.

2. Применение релейных схем АРЧ по df вполне возможно, и надежно, а их осуществление весьма просто.

Лаборатория электротехники Академии Наук Армянской ССР Ереван, 1948, май.

Z. F. FUFUWULBUL

երիկուակներգիոիկ սիստիմների ավտունարիկ բեռնաթափման հաշցի շութը

Ավտոմատիկ րհոնաթափումը էլեկտրաէներգևտիկ սիստհմների հաճախականությամր սկզթունքորհն դործում է սիստհմի հաճախականության իջեցված որոշ մակար-- դակների դեպքում։

Բեռնաթափման վերևում մատնանշված սկզբունքն ունի մի շարք թերություններ, որոնցից հիմնականը հանդիսանում է սիստեմի հաճախականության պահպանման անհնարինությունը նրա փոփոխման նեղ սահմաններում, հատկապես հուզման զգալի կարողութթյունների դեպքում։

ավտոմատիկ բեռնաթափման սկզբունքը։ ավտոմատիկ բեռնաթափման սկզբունքը։

Բեռնաթափումն իրագործվում է ռելեային սխեմայի միջոցով, որ հակազդում է ան գրա, երը է Հայ և հիմնվում է այն թանի վրա, որ սիստեմի հաճախականությունը փոփոխվում է ժամանակով և այս ղեպրում հուզման տարրեր կարողությունների համար՝ տարբեր կերպով (տես նկ. նկ. 1, 2, 5)։

Ունենալով հաճախականության փոփոխման արագությունը ժամանակով՝ ռելեների մի ճաէ չափել հաճախականության փոփոխման արագությունը ժամանակով՝ ռելեների մի ճա-

խադրումից մինչև մյուսը գրանցված որոշ ժամանակամիջոցում։

որակը և կապածուխ սիստեմի հուսալի ու կայուն աշխատանքը։ Նաթափման կիրառումն զդալիորին կբարելավի հաճախականության կ<mark>արգավ</mark>որման

ANTEPATYPA — SPU4UUNDESANU

1. В. М. Горнштейн. "Электрические станции", №№ 10 и 11, 1940. 2. И. А. Сыромятников. "Электрические станции", № 12, 1940. 3. И. И. Соловьев. "Электрические станции" № 7, 1945. 4. В. А. Романов. "Электрические станции", № 7, 1945. 5. П. С. Жданов. "Электричество", № 1, 1947. 6. Сборн. решений технич. отдела НКЭС. 1944. 7. И. И. Соловьев. Релейная защита и системная автоматика. Мосэнерго, 1946. 8. Д. Н. Виккер. Автоматическое регулирование частоты и активной мощности электрических систем ОНТИ, 1937. 9. А. Б. Бабаханян. ДАН Арм. ССР, 9. № 4, 1948.

The same of the sa

TO THE PARTY OF THE PROPERTY OF THE PARTY OF THE PARTY OF THE PARTY OF THE PARTY OF THE PARTY.

一一一一一一一一一一一一一一一一一一一一一一一一一一一一一一一